



# Revista ALCONPAT

[www.revistaalconpat.org](http://www.revistaalconpat.org)

eISSN 2007-6835



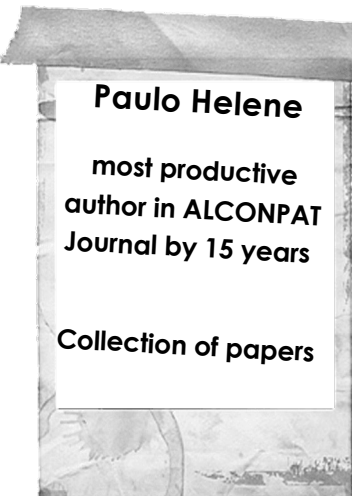
Revista de la Asociación Latinoamericana de Control de Calidad, Patología y Recuperación de la Construcción

## Revista Alconpat: 15 años de historia (2011 - 2025)

### Co-authors

Carlos Britez  
Pedro Castro  
Antonio Berto  
Jéssica Pacheco  
Salomon Levy  
Juan Gadea  
Mariana Carvalho  
Eliana Monteiro  
Ruy Berenguer  
Nogueira Silva  
Marden Torres

Melo Neto  
Jose Mariz  
Angelo Just  
Renata Oliveira  
Antonio Carneiro  
André Passos  
Marcelo Medeiros  
Ricardo Boni  
Douglas Couto  
Vitor Silva  
Allan Valério



1

## CELEBRACIÓN ACADÉMICA POR EL 15º ANIVERSARIO DE LA REVISTA ALCONPAT 15 AÑOS DE HISTORIA (2011 - 2025)

**La Boda de Cristal, que celebra 15 años de este matrimonio científico comprometido con la noble transferencia del saber, simboliza la claridad, pureza y durabilidad de la relación.**

**El cristal, conocido por su dureza y belleza, representa la solidez, luz y transparencia que la comunidad ALCONPAT ha construido a lo largo de estos primeros 15 años.**



2

## Tema de los 12 artículos

- 1. Seguridad (2)**
- 2. Innovación (2)**
- 3. Durabilidad (2)**
- 4. Sostenibilidad (2)**
- 5. Fuego (4)**

3

### 1. SEGURIDAD de las estructuras de concreto

Revista ALCONPAT, Volumen 1, Número 1, Enero-Abril 2011, páginas 64 - 89

Análise da resistência à compressão do concreto em estruturas acabadas com vistas à revisão da segurança estrutural

P. Helene<sup>1</sup>

**Controle da resistência à compressão do concreto: análise comparativa entre os procedimentos propostos pela ABNT, ACI e EN. Estudo de Caso**

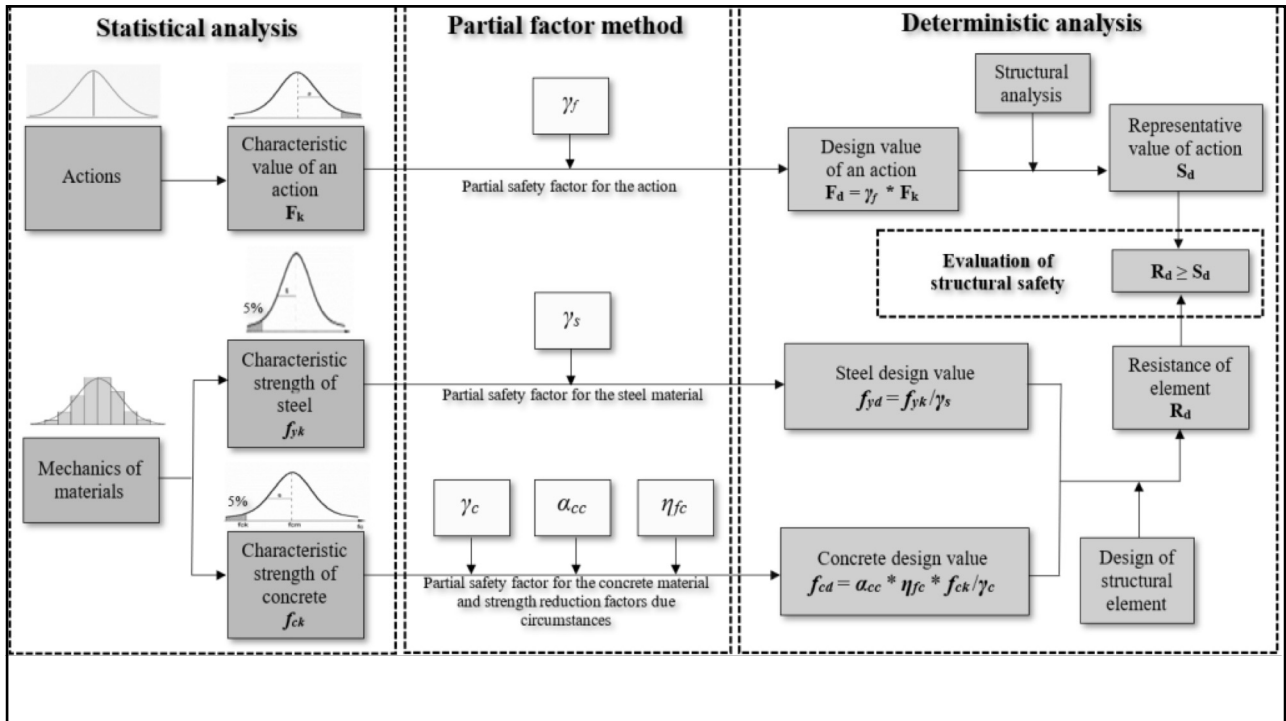
R. Boni<sup>1</sup>, C. Britez<sup>1</sup>, P. Helene<sup>1\*</sup> 

\* Autor de Contato: [paulo.helene@concretophd.com.br](mailto:paulo.helene@concretophd.com.br)

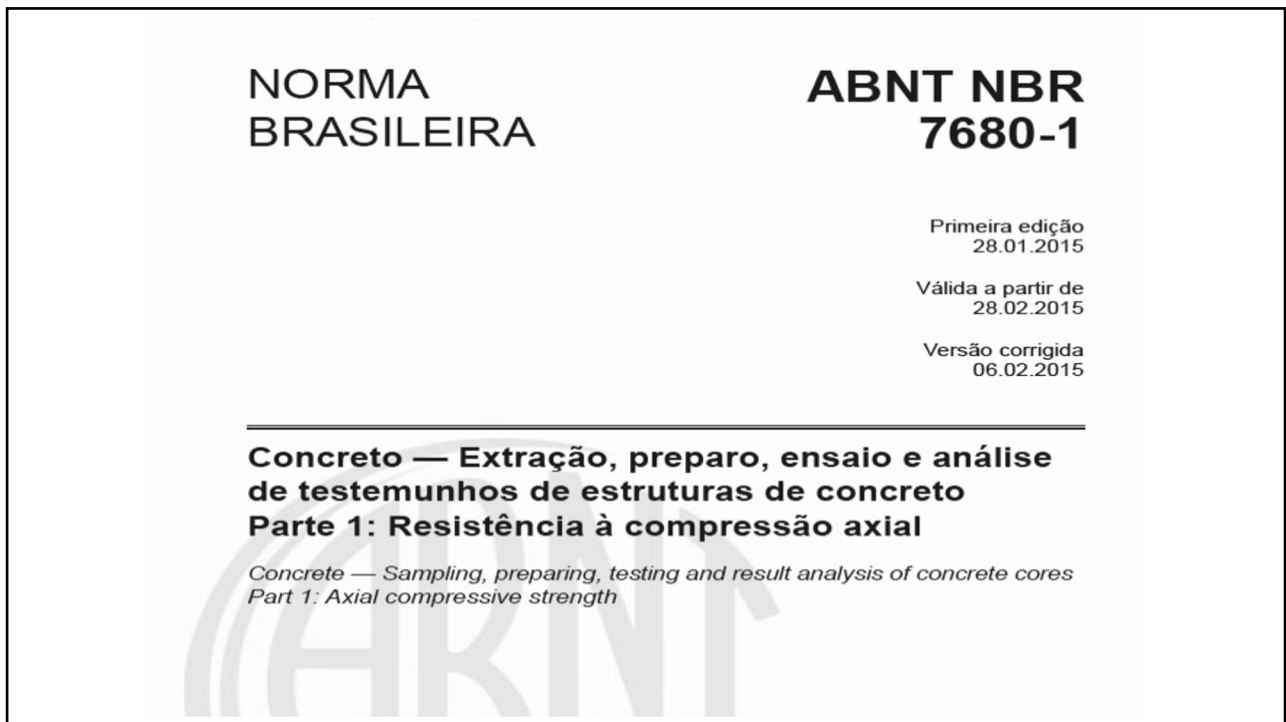
DOI: <http://dx.doi.org/10.21041/ra.v8i3.303>

Recepção: 16/03/2018 | Aceitação: 19/07/2018 | Publicação: 31/08/2018

4



5



6

## 1. SEGURIDAD de las estructuras de concreto

Revista ALCONPAT, Volumen 1, Número 1, Enero-Abril 2011, Páginas 64 - 89

Análise da resistência à compressão do concreto em estruturas acabadas com vistas à revisão da segurança estrutural

P. Helene<sup>1</sup>

**Controle da resistência à compressão do concreto: análise comparativa entre os procedimentos propostos pela ABNT, ACI e EN. Estudo de Caso**

R. Boni<sup>1</sup>, C. Britez<sup>1</sup>, P. Helene<sup>1\*</sup> 

\* Autor de Contato: [paulo.helene@concretophd.com.br](mailto:paulo.helene@concretophd.com.br)

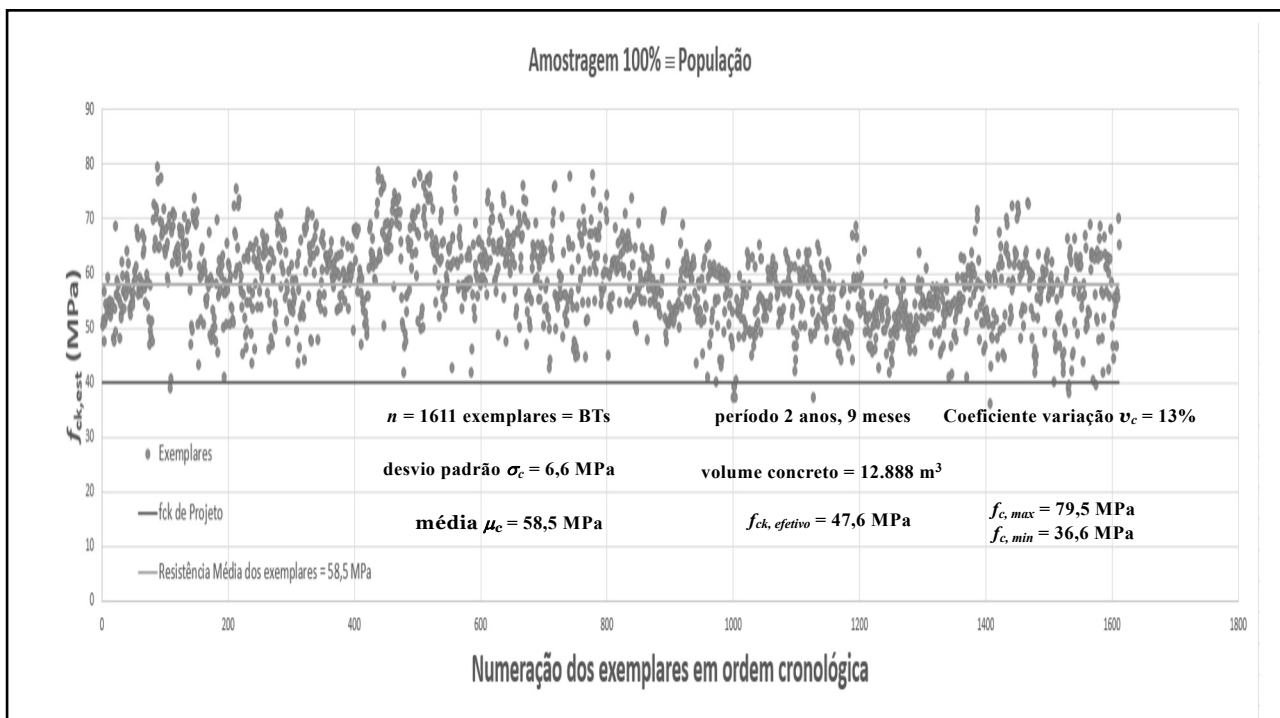
DOI: <http://dx.doi.org/10.21041/ra.v8i3.303>

Recepção: 16/03/2018 | Aceitação: 19/07/2018 | Publicação: 31/08/2018

7



8



9

<b>ABNT NBR 12655</b>	<ul style="list-style-type: none"> <li><b>a cada 8 m<sup>3</sup>!!</b></li> </ul>				
<b>ACI 318-14</b>	<ul style="list-style-type: none"> <li>≥ uma vez por dia de concretagem;</li> <li>≥ uma vez por cada 115 m<sup>3</sup> de concreto;</li> <li>≥ uma vez por cada 465 m<sup>2</sup> de superfície de lajes ou muros;</li> <li>dispensado o controle para volumes &lt; 38 m<sup>3</sup></li> </ul>				
<b>EN 206-1:2013</b>	<ul style="list-style-type: none"> <li>≥ 3 amostras nos primeiros 50 m<sup>3</sup>;</li> </ul> <table border="1"> <tr> <td>Produção inicial (até 35 resultados de ensaio disponíveis)</td> <td> <ul style="list-style-type: none"> <li>≥ 1 amostra a cada 200 m<sup>3</sup> ou a cada 3 dias de produção (concreto c/ certificação do controle de produção)</li> <li>≥ 1 amostra a cada 150 m<sup>3</sup> ou a cada dia de produção (concreto s/ certificação do controle de produção)</li> </ul> </td> </tr> <tr> <td>Produção contínua (mais de 35 resultados de ensaio disponíveis)</td> <td> <ul style="list-style-type: none"> <li>≥ 1 amostra a cada 400 m<sup>3</sup> ou a cada 5 dias de produção ou a cada mês (concreto c/ certificação do controle de produção)</li> <li>≥ 1 amostra a cada 150 m<sup>3</sup> ou a cada dia de produção (concreto s/ certificação do controle de produção)</li> </ul> </td> </tr> </table>	Produção inicial (até 35 resultados de ensaio disponíveis)	<ul style="list-style-type: none"> <li>≥ 1 amostra a cada 200 m<sup>3</sup> ou a cada 3 dias de produção (concreto c/ certificação do controle de produção)</li> <li>≥ 1 amostra a cada 150 m<sup>3</sup> ou a cada dia de produção (concreto s/ certificação do controle de produção)</li> </ul>	Produção contínua (mais de 35 resultados de ensaio disponíveis)	<ul style="list-style-type: none"> <li>≥ 1 amostra a cada 400 m<sup>3</sup> ou a cada 5 dias de produção ou a cada mês (concreto c/ certificação do controle de produção)</li> <li>≥ 1 amostra a cada 150 m<sup>3</sup> ou a cada dia de produção (concreto s/ certificação do controle de produção)</li> </ul>
Produção inicial (até 35 resultados de ensaio disponíveis)	<ul style="list-style-type: none"> <li>≥ 1 amostra a cada 200 m<sup>3</sup> ou a cada 3 dias de produção (concreto c/ certificação do controle de produção)</li> <li>≥ 1 amostra a cada 150 m<sup>3</sup> ou a cada dia de produção (concreto s/ certificação do controle de produção)</li> </ul>				
Produção contínua (mais de 35 resultados de ensaio disponíveis)	<ul style="list-style-type: none"> <li>≥ 1 amostra a cada 400 m<sup>3</sup> ou a cada 5 dias de produção ou a cada mês (concreto c/ certificação do controle de produção)</li> <li>≥ 1 amostra a cada 150 m<sup>3</sup> ou a cada dia de produção (concreto s/ certificação do controle de produção)</li> </ul>				

10

## 2. INNOVACIÓN en la ejecución de las estructuras de concreto

Revista ALCONPAT, Volume 6, Número 1, Janeiro – Abril 2016, Páginas 28 – 40

### Concreto e Concretagem de Blocos de Fundação em Concreto Autoadensável e de Alta Resistência (70 MPa)

C. Britez<sup>1</sup>; J. Gadea<sup>1</sup>; M. Carvalho<sup>1</sup>; P. Helene<sup>2</sup>

### Avaliação comparativa do comportamento mecânico de concretos leves com ar incorporado

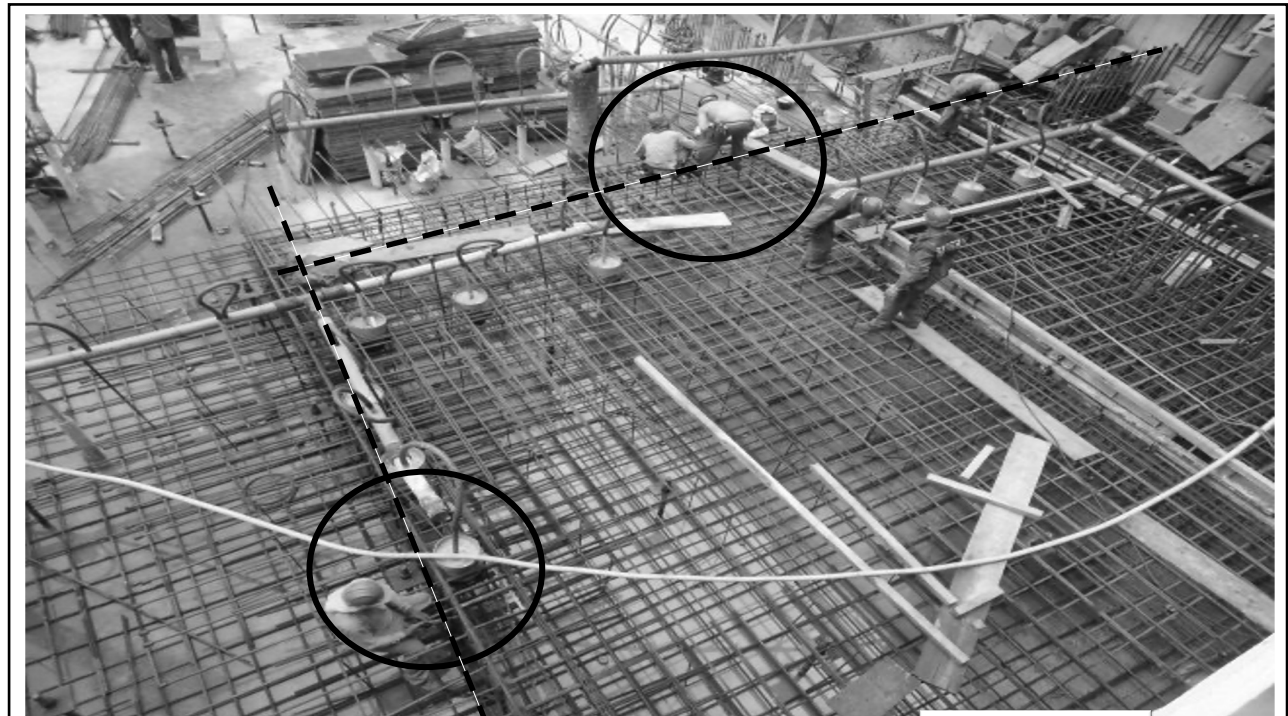
R. A. Berenguer <sup>1\*</sup> , J. C. Mariz<sup>3</sup> , Â. Just<sup>2,3</sup> , E. C. B. Monteiro<sup>2,3</sup> , P. Helene<sup>4</sup> , R. A. Oliveira<sup>1,2</sup> 

\* Autor de Contato: [templarios\\_pm@hotmail.com](mailto:templarios_pm@hotmail.com)

DOI: <http://dx.doi.org/10.21041/ra.v8i2.194>

Recepção: 11/08/2017 | Aceitação: 21/03/2018 | Publicação: 30/04/2018

11



12



13



14



15

## 2. INNOVACIÓN en la ejecución de las estructuras de concreto

Revista ALCONPAT, Volume 6, Número 1, Janeiro – Abril 2016, Páginas 28 – 40

**Concreto e Concretagem de Blocos de Fundação em Concreto Autoadensável e de Alta Resistência (70 MPa)**

C. Britez<sup>1</sup>; J. Gadea<sup>1</sup>; M. Carvalho<sup>1</sup>; P. Helene<sup>2</sup>

**Avaliação comparativa do comportamento mecânico de concretos leves com ar incorporado**

R. A. Berenguer<sup>1\*</sup> , J. C. Mariz<sup>3</sup> , Â. Just<sup>2,3</sup> , E. C. B. Monteiro<sup>2,3</sup> , P. Helene<sup>4</sup> , R. A. Oliveira<sup>1,2</sup> , A. M. P. Carneiro<sup>1</sup>

\* Autor de Contato: [templarios\\_pmn@hotmail.com](mailto:templarios_pmn@hotmail.com)  
DOI: <http://dx.doi.org/10.21041/ra.v8i2.194>

Recepção: 11/08/2017 | Aceitação: 21/03/2018 | Publicação: 30/04/2018

16

Revista ALCONPAT, 8 (2), 2018: 178 – 193

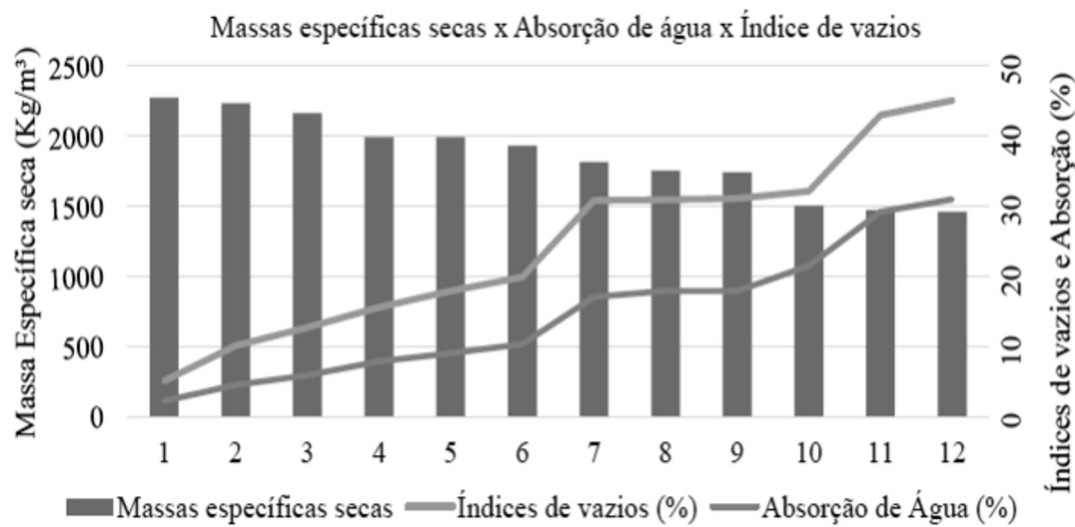
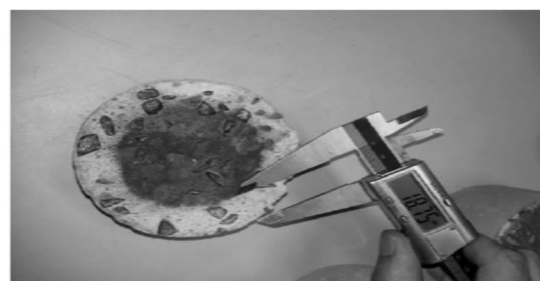


Figura 5. Relações entre massas específicas, índice de vazios e absorção de água

17

Revista ALCONPAT, 8 (2), 2018: 178 – 193

Figura 10. Medição da profundidade de carbonatação para massa específica de 1500 kg/m<sup>3</sup>Figura 11. Medição da profundidade de carbonatação para massa específica de 1700 kg/m<sup>3</sup>

18

### 3. DURABILIDAD de las estructuras de concreto

#### Verificação de penetração de cloreto em corpos de prova parcialmente imersos em água do mar em Recife, Pernambuco

R. Berenguer<sup>1\*</sup>, A. Passos<sup>2</sup>, E. C. B. Monteiro<sup>2,3</sup>, P. Helene<sup>4</sup>, Â. Just<sup>2</sup>, R. Oliveira<sup>1,2</sup>  
 M. Medeiros<sup>5</sup>, A. Carneiro<sup>1</sup>

\* Autor de Contato: templarios\_pm@hotmail.com

DOI: <http://dx.doi.org/10.21041/ra.v8.i1.524>

Recepção: 11/08/2017 | Aceitação: 17/03/2018 | Publicação: 30/04/2018

#### Uma abordagem conceitual holística para a vida útil das estruturas de concreto: divisão em diferentes estágios de tempo

P. Castro-Borges<sup>1\*</sup>, P. Helene<sup>2</sup>

\* Autor de Contato: pcastro@cinvestav.mx

DOI: <http://dx.doi.org/10.21041/ra.v8.i1.524>

Recepção: 15/06/2018 | Aceitação: 29/08/2018 | Publicação: 31/08/2018

19

Tabela 2. Traços do Concreto (unitário)							
Tipo	Traço	Slump	a/c	Cimento	areia	brita	Resistência Média (MPa)
Pobre	1:3	160 ± 20	0,516	1	1,6	1,40	26,67
Médio	1:2	160 ± 20	0,370	1	0,95	1,05	32,33
Rico	1:1	160 ± 20	0,259	1	0,3	0,70	40,87

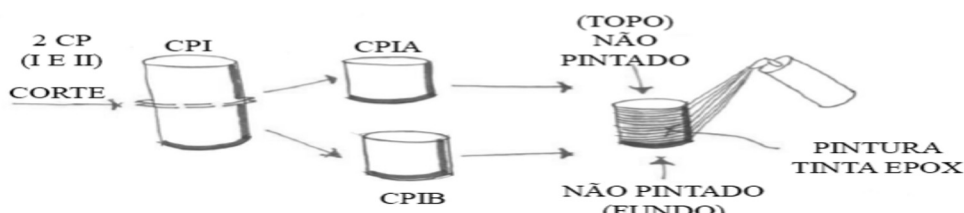


Figura 2. Processo de cortar nomear e pintar os CP (corpos de prova).

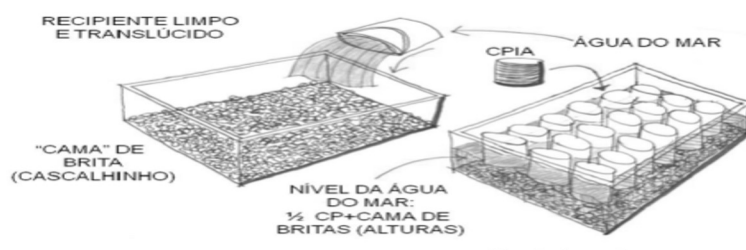


Figura 3. Ensaio com a água do mar (desenho esquemático).

20

### 3. DURABILIDAD de las estructuras de concreto

**Verificação de penetração de cloreto em corpos de prova parcialmente imersos em água do mar em Recife, Pernambuco**

R. Berenguer<sup>1\*</sup> , A. Passos<sup>2</sup> , E. C. B. Monteiro<sup>2,3</sup> , P. Helene<sup>4</sup> , Â. Just<sup>2</sup> , R. Oliveira<sup>1,2</sup> 

\* Autor de Contato: [templarios\\_pm@hotmail.com](mailto:templarios_pm@hotmail.com)

DOI: <http://dx.doi.org/10.21041/ra.v8i2.195>

Recepção: 11/08/2017 | Aceitação: 17/03/2018 | Publicação: 30/04/2018

### Uma abordagem conceitual holística para a vida útil das estruturas de concreto: divisão em diferentes estágios de tempo

P. Castro-Borges<sup>1\*</sup> , P. Helene<sup>2</sup> 

\* Autor de Contato: [pcastro@cinvestav.mx](mailto:pcastro@cinvestav.mx)

DOI: <http://dx.doi.org/10.21041/ra.v8i3.324>

Recepção: 15/06/2018 | Aceitação: 29/08/2018 | Publicação: 31/08/2018

21

Características	Planejando a vida útil do projeto		Preparação para a vida útil	Ínicio da vida útil	Vida útil	Vida útil residual	Vida Residual	Fim da Vida Residual
	Estágio 1	Estágio 2	Estágio 3	Estágio 4	Estágio 5	Estágio 6	Estágio 7	
Desempenho do projeto e estrutura em termos gerais	Ótimo	Projeto arquitetônico, estrutural e de durabilidade	Serviços de construção	Ínicio de serviço e plano de manutenção	Propagação do estágio 1, manutenção preventiva. Ingresso de agentes	Propagação do estágio 2, manutenção corretiva. Fim da vida útil	Manutenção não recupera o desempenho	Início do colapso parcial ou total
	Mínimo							
		Condição mínima de projeto						
			Condição mínima de serviço					
Condições de uso	Não aceitável			Condição paliativa para evitar o colapso (adaptação de uso)				
				Condição de colapso				

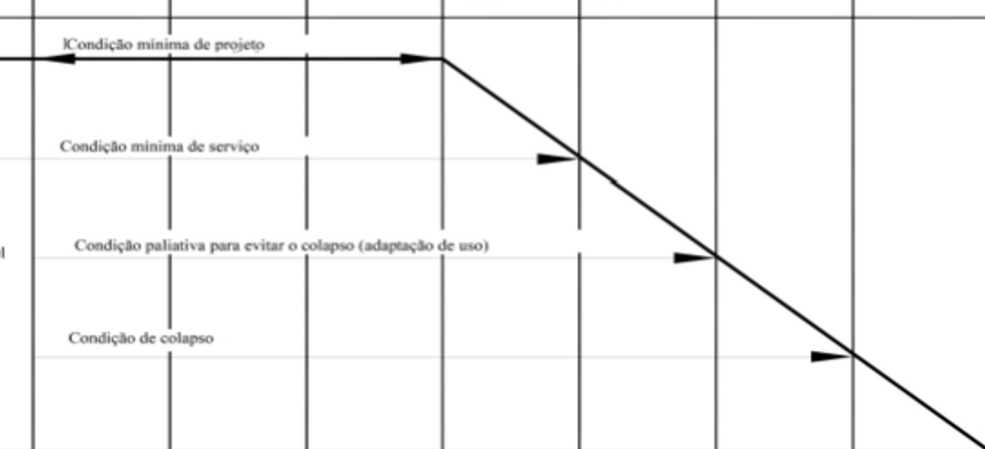


Figura 1. Abordagem para vida útil de estruturas de concreto.

22

## 4. SOSTENIBILIDAD de las estructuras de concreto

Revista ALCONPAT, Volumen 5, Número 1, Enero - Abril 2015, Páginas 73 – 82

### Uso del hormigón de altas prestaciones en columnas estructurales con vistas a la sostenibilidad

C. Britez<sup>1</sup>, J. Pacheco<sup>2</sup>, S. Levy<sup>3</sup>, P. Helene<sup>4</sup>.

### A influência das cinzas de bagaço de cana-de-açúcar como substituição parcial do cimento na resistência à compressão de argamassa

R. A. Berenguer<sup>1\*</sup>, F. A. Nogueira Silva<sup>2</sup>, S. Marden Torres<sup>3</sup>, E. C. Barreto Monteiro<sup>2,4</sup>, P. Helene<sup>5</sup>, A. A. de Melo Neto<sup>1</sup>

\*Autor de Contacto: [templarios\\_pm@hotmail.com](mailto:templarios_pm@hotmail.com)

DOI: <http://dx.doi.org/10.21041/ra.v8i1.187>

Recebido: 24/02/2017 | Aceito: 21/12/2017 | Publicado: 30/01/2018

23



Figura 2. Perspectiva arquitectónica del edificio e-Tower en São Paulo, Brasil (*Concrete*)

24

Revista ALCONPAT, Volumen 5, Número 1, Enero - Abril 2015, Páginas 73 – 82

con el proyecto aprobado en el Ayuntamiento, la mayor dimensión de las columnas paralela a las plazas, era 70cm. La modificación del proyecto de las columnas se puede ver en la Figura 3.

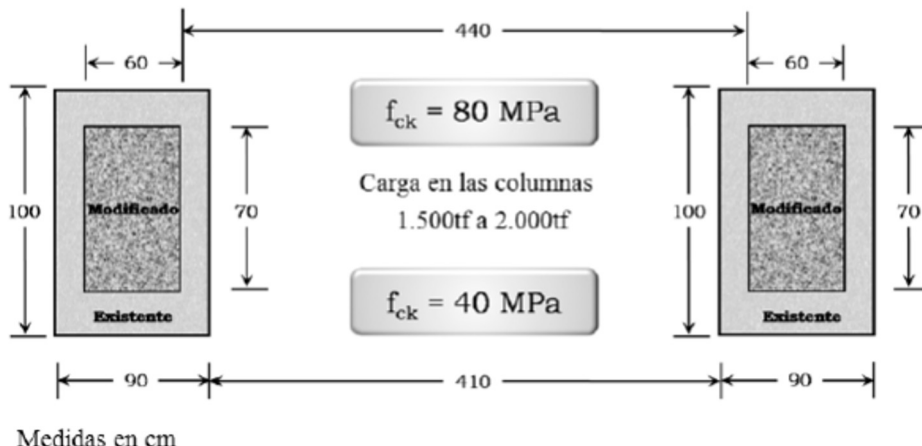


Figura 3. Edificio *e-Tower*: columnas existentes en el proyecto original de  $f_{ck} = 40\text{ MPa}$  (90cm x 100cm) y columnas modificadas con  $f_{ck} 80\text{ MPa}$  (60cm x 70cm)

25

Tabla 3. Datos obtenidos en el caso práctico estudiado sobre las columnas de hormigón de altas prestaciones del edificio *e-Tower*, con relación a la reducción de los materiales por separado y del hormigón como un todo.

Material	Reducción
Arena	70%
Grava	70%
Cemento	20%
Agua	53%
<b>Hormigón</b>	<b>53%</b>

26

## 4. SOSTENIBILIDAD de las estructuras de concreto

Revista ALCONPAT, Volumen 5, Número 1, Enero - Abril 2015, Páginas 73 – 82

### Uso del hormigón de altas prestaciones en columnas estructurales con vistas a la sostenibilidad

C. Britez<sup>1</sup>, J. Pacheco<sup>2</sup>, S. Levy<sup>3</sup>, P. Helene<sup>4</sup>.

### A influência das cinzas de bagaço de cana-de-açúcar como substituição parcial do cimento na resistência à compressão de argamassa

R. A. Berenguer <sup>1\*</sup>, F. A. Nogueira Silva<sup>2</sup>, S. Marden Torres<sup>3</sup>, E. C. Barreto Monteiro<sup>2,4</sup>, P. Helene<sup>5</sup>, A. A. de Melo Neto<sup>1</sup>

\* Autor de Contacto: [templarios\\_pm@hotmail.com](mailto:templarios_pm@hotmail.com)

DOI: <http://dx.doi.org/10.21041/ra.v8i1.187>

Recebido: 24/02/2017 | Aceito: 21/12/2017 | Publicado: 30/01/2018

27

Tabela 5. Resultados de resistência à compressão e medidas de dispersão

Traço	Idade (dias)	Resistência à compressão média (MPa)	Desvio Padrão (MPa)	Coeficiente de variação (%)
Referência	28	40,110	1,402	3,496
	63	41,699	1,919	4,603
	91	43,829	1,716	3,914
CBCA-Piz-15%	28	40,126	1,804	4,496
	63	42,678	1,820	4,265
	91	44,128	0,612	1,405
CBCA-Ind-15%	28	39,686	0,853	2,150
	63	41,179	1,446	3,511
	91	43,201	0,869	2,012

**15% menos cemento → -48 kg/m<sup>3</sup>**

28

## 5. Comportamiento al FUEGO de las estructuras de concreto

Revista ALCONPAT, Volumen 3, Número 1 Enero - Abril 2013, Páginas 38 - 52

### Experimental evaluation of colored HSC column in fire conditions

C. Britez<sup>1</sup>, P. Castro-Borges<sup>2</sup>, A. Berto<sup>3</sup>, P. Helene<sup>1</sup>

### Colapso do Edifício Wilton Paes de Almeida – SP: lições aprendidas

P. Helene<sup>1\*</sup> , J. Pacheco<sup>2</sup>, D. Couto<sup>3</sup> 

\*Autor de Contato: [paulo.helene@concretophd.com.br](mailto:paulo.helene@concretophd.com.br)

DOI: <http://dx.doi.org/10.21041/ra.v10i1.419>

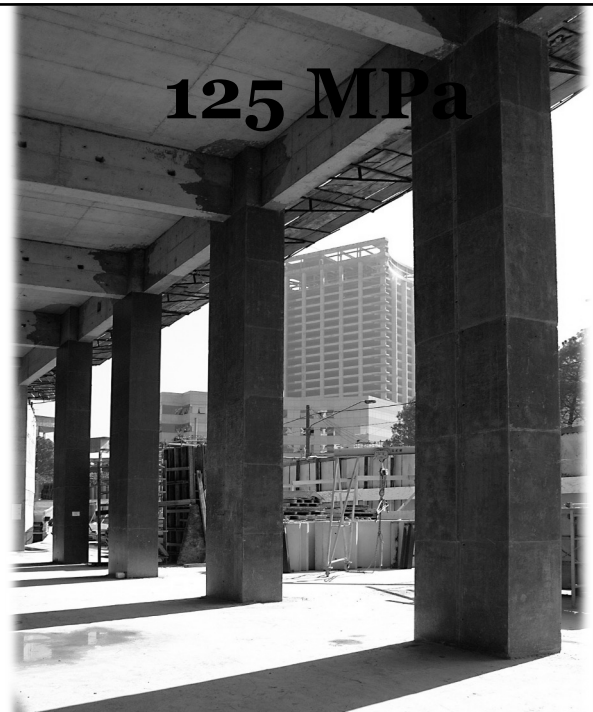
Recepção: 07/06/2019 | Aceitação: 22/11/2019 | Publicação: 30/12/2019

29

## “ HPCC in Brazilian Office Tower”

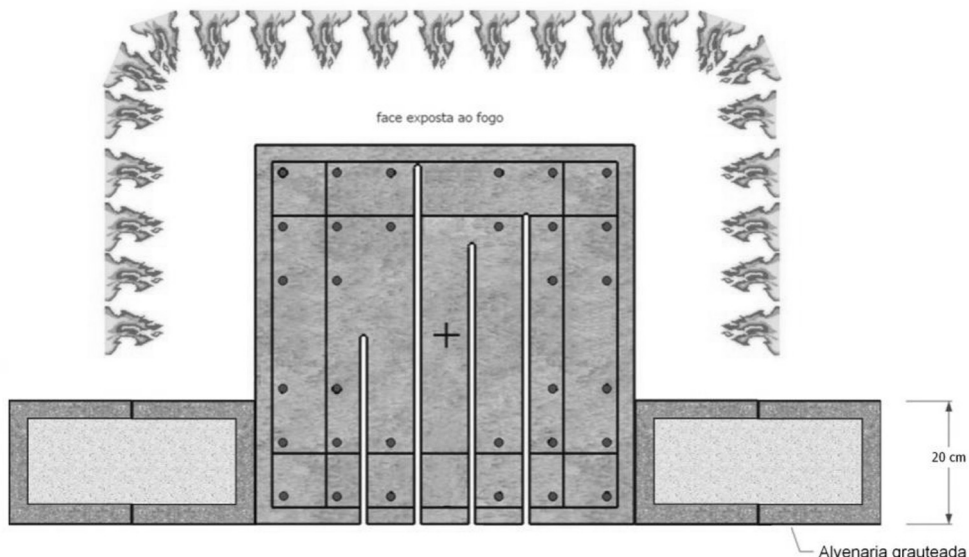
*Concrete International. ACI, American Concrete Institute, v. 25, n. 12, p. 64-68, 2003*

HELENE, Paulo &  
HARTMANN, Carine



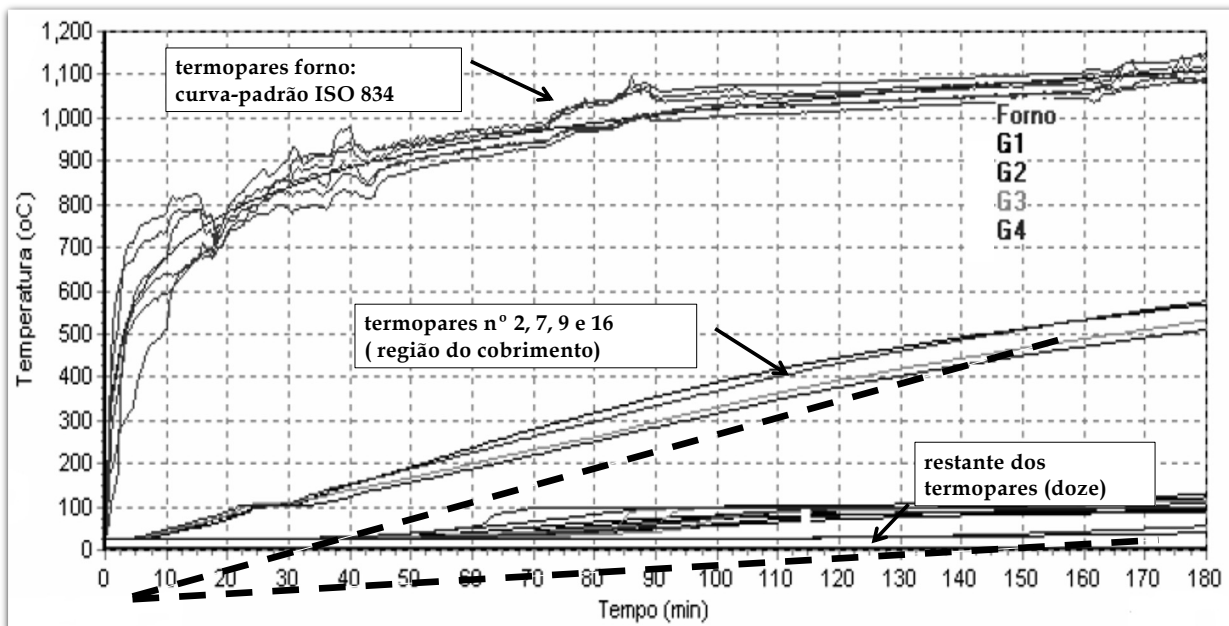
30

## ***esquema da simulação (planta)***



31

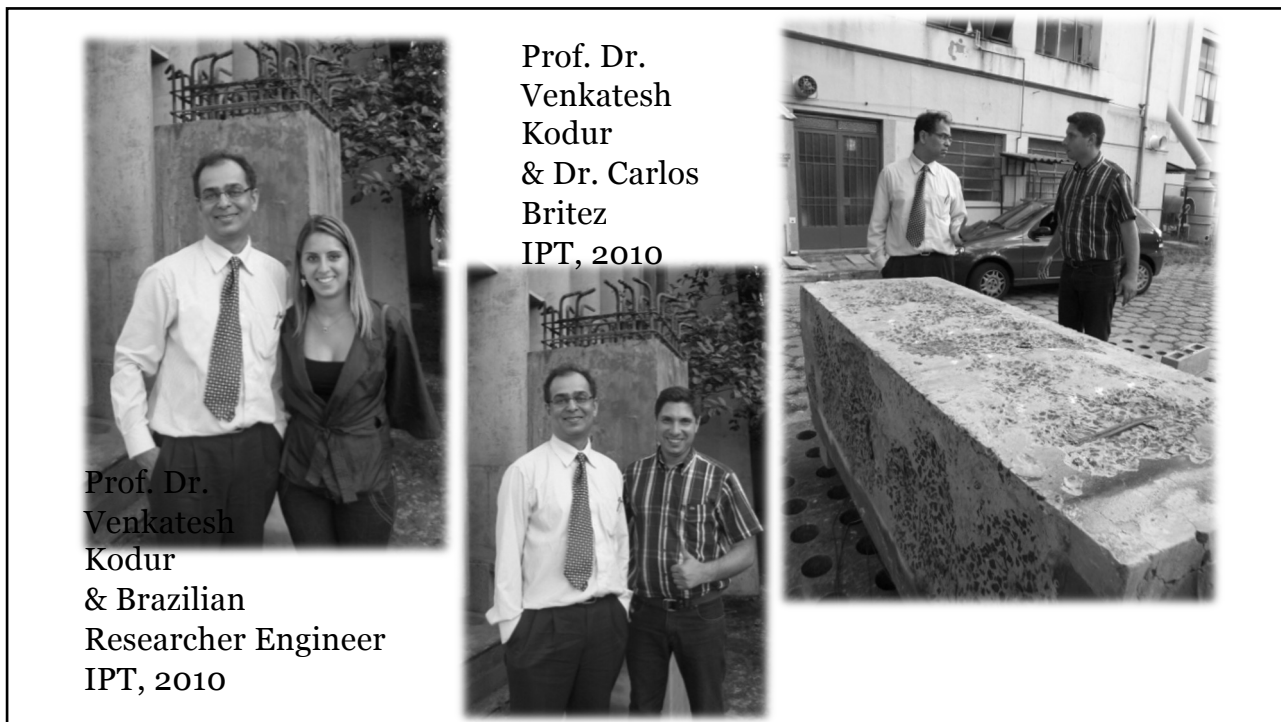
## ***Evolução das temperaturas***



32



33



34

## 5. Comportamiento al FUEGO de las estructuras de concreto

Revista ALCONPAT, Volumen 3, Número 1, Enero - Abril 2013, Páginas 38 - 52

### Experimental evaluation of colored HSC column in fire conditions

C. Britez<sup>1</sup>, P. Castro-Borges<sup>2</sup>, A. Berto<sup>3</sup>, P. Helene<sup>1</sup>

### Colapso do Edifício Wilton Paes de Almeida – SP: lições aprendidas

P. Helene<sup>1\*</sup> , J. Pacheco<sup>2</sup>, D. Couto<sup>3</sup> 

\*Autor de Contato: [paulo.helene@concretophd.com.br](mailto:paulo.helene@concretophd.com.br)

DOI: <http://dx.doi.org/10.21041/ra.v10i1.419>

Recepção: 07/06/2019 | Aceitação: 22/11/2019 | Publicação: 30/12/2019

35

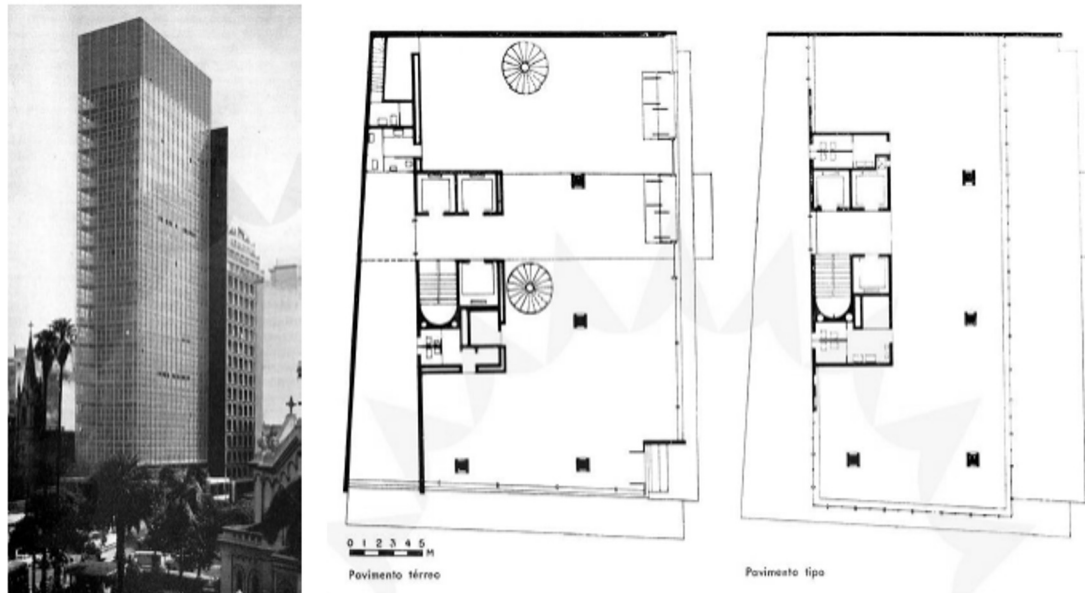


Figura 1. Vista do edifício Wilton Paes de Almeida e plantas dos pavimentos térreo e tipo (fonte: Revista Acrópole, 1965)

36



37



38

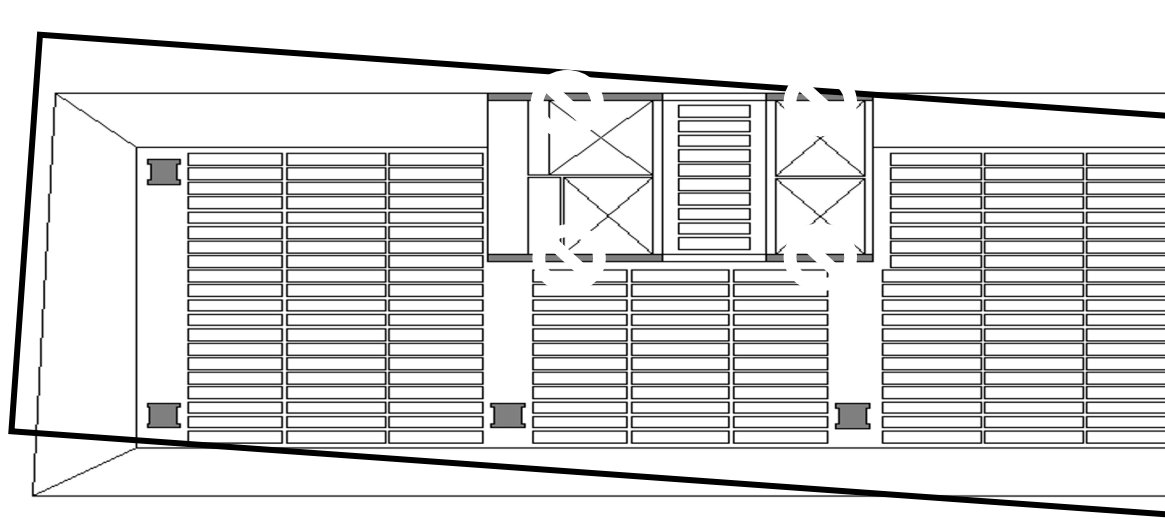
## O Incêndio

Madrugada de 01/05/2018, 01:30h: incêndio que iniciou-se no 5º andar do prédio e alastrou-se pelos demais andares (subsolo ao 10º andar + penúltimo)



39

### ***Hipótese da mecânica do colapso***



40

## 5. Comportamiento al FUEGO de las estructuras de concreto

### Desempenho de revestimentos contrafogo em elementos de concreto armado submetidos a temperaturas elevadas

C. Britez<sup>1\*</sup>, V. P. Silva<sup>2</sup>, M. Carvalho<sup>3</sup>, P. Helene<sup>4</sup>

\*Autor de Contato: [britez.consultoria@gmail.com](mailto:britez.consultoria@gmail.com)

DOI: <http://dx.doi.org/10.21041/ra.v15i1.430>

Recepção: 29/07/2019 | Aceitação: 11/12/2019 | Publicação: 30/12/2019

### Avaliação da alteração da frente de carbonatação de estrutura de concreto submetida a fuligem de incêndio.

A. Valerio<sup>1\*</sup>, P. Helene<sup>2</sup>

\* Autor de Contato: [allan\\_cava@hotmail.com](mailto:allan_cava@hotmail.com)

DOI: <https://doi.org/10.21041/ra.v15i1.722>

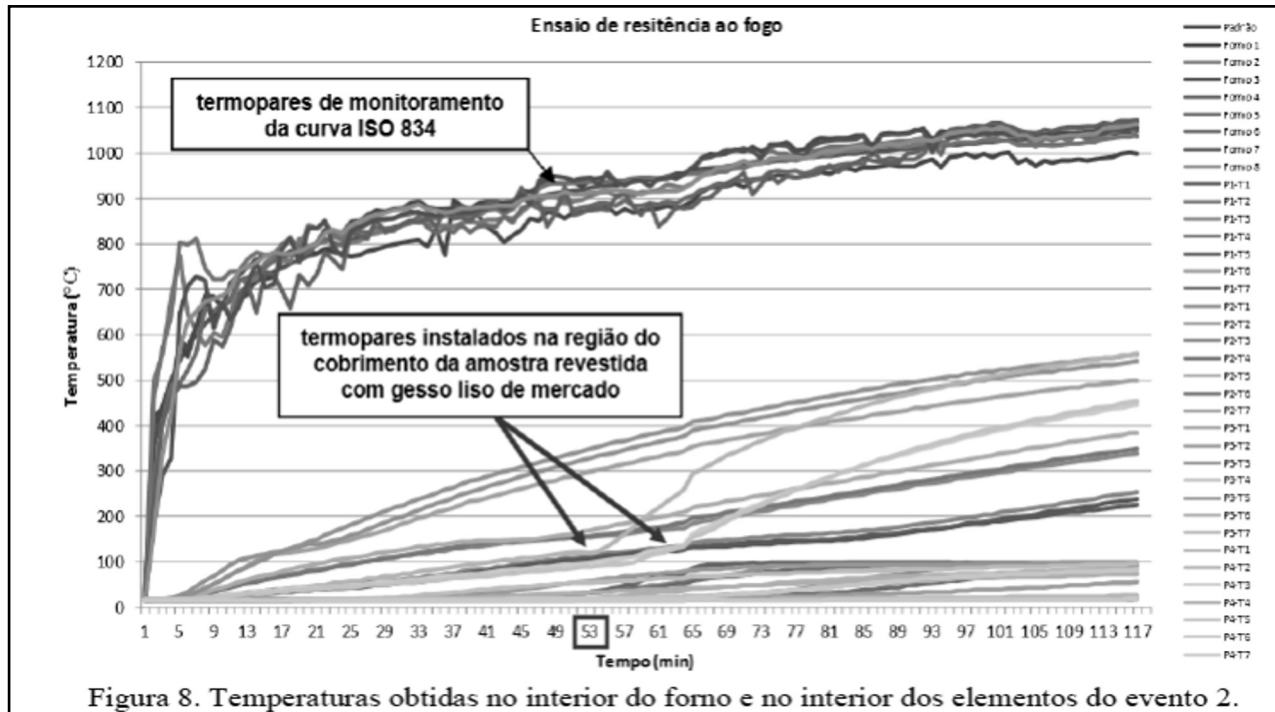
Recebido: 09/01/2024 | Correções recebidas: 04/12/2024 | Aceito: 23/12/2024 | Publicado: 01/01/2025

41

Tabela 3. Comparativo de eficiência de cada tipo de revestimento em isolar a temperatura média nos termopares 1, 3 e 5, posicionados na armadura (região do cobrimento), aos 120 min de ensaio (com relação ao elemento de referência).

Evento de ensaio	Corpos de prova em comparação	Temperatura média (°C)	Diferença	Isolamento
Evento 1	Referência (sem revestimento)	543	348	64%
	Revestido com argamassa industrializada base cimento (25 mm)	195		
	Referência (sem revestimento)	543	357	66%
	Revestido com gesso formulado liso (10 mm)	186		
	Referência (sem revestimento)	543	312	57%
	Revestido com gesso projetado (10 mm)	231		
Evento 2	Referência (sem revestimento)	533	292	55%
	Revestido com argamassa industrializada base cimento (25 mm)	421		
	Referência (sem revestimento)	533	174	33%
	Revestido com tinta intumescente (540 micrometros WFT / 390 micrometros DFT)	359		
	Referência (sem revestimento)	533	46	9%
	Revestido com gesso liso lento popular de mercado (10 mm)	487		

42



43

## 5. Comportamiento al FUEGO de las estructuras de concreto

**Desempenho de revestimentos contrafogo em elementos de concreto armado submetidos a temperaturas elevadas**

C. Britez<sup>1\*</sup>, V. P. Silva<sup>2</sup>, M. Carvalho<sup>3</sup>, P. Helene<sup>4</sup>

\*Autor de Contato: [britez.consultoria@gmail.com](mailto:britez.consultoria@gmail.com)  
DOI: <http://dx.doi.org/10.21041/ra.v10i1.430>

Recepção: 29/07/2019 | Aceitação: 11/12/2019 | Publicação: 30/12/2019

**Avaliação da alteração da frente de carbonatação de estrutura de concreto submetida a fuligem de incêndio.**

A. Valerio<sup>1\*</sup> , P. Helene<sup>2</sup>   
\* Autor de Contato: [allan\\_cava@hotmail.com](mailto:allan_cava@hotmail.com)  
DOI: <https://doi.org/10.21041/ra.v15i1.722>

Recebido: 09/01/2024 | Correções recebidas: 04/12/2024 | Aceito: 23/12/2024 | Publicado: 01/01/2025

44

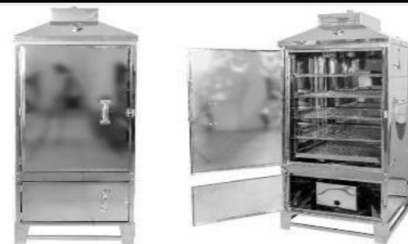


Figura 2. Defumador utilizado como invólucro para queima dos corpos de prova.

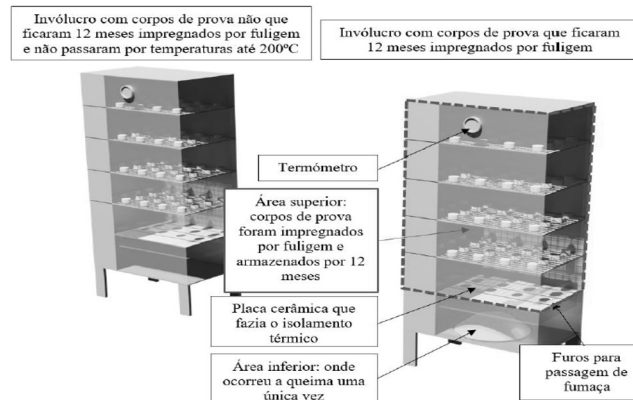


Figura 3. Esquemático de defumador utilizado como invólucro para queima dos corpos de prova.

45



Figura 7. Comparação da aferição da frente de carbonatação com fenolftaleína, no traço de relação água/cimento 0,45, ao final dos 360 dias de experimento



Figura 8. Comparação da aferição da frente de carbonatação com fenolftaleína, no traço de relação água/cimento 0,55, ao final dos 360 dias de experimento

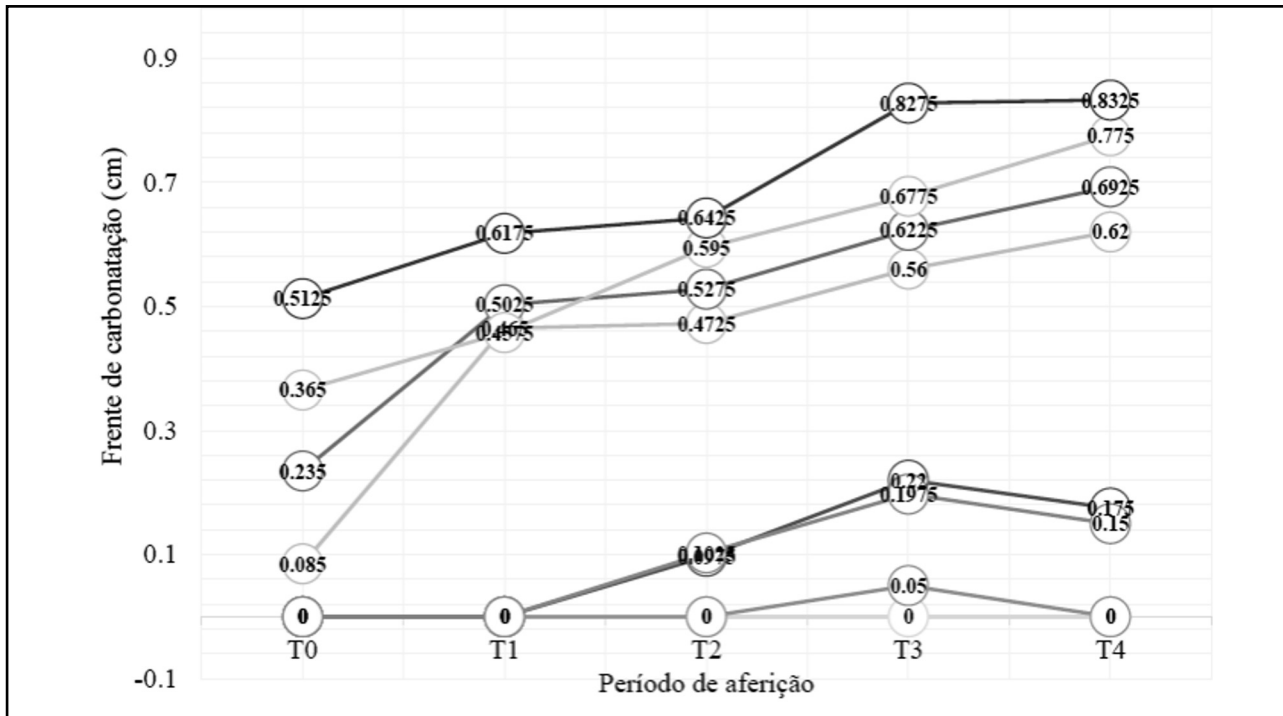


Figura 9. Comparação da aferição da frente de carbonatação com fenolftaleína, no traço de relação água/cimento 0,60, ao final dos



Figura 10. Comparação da aferição da frente de carbonatação com fenolftaleína, no traço de relação água/cimento 0,65, ao final dos

46



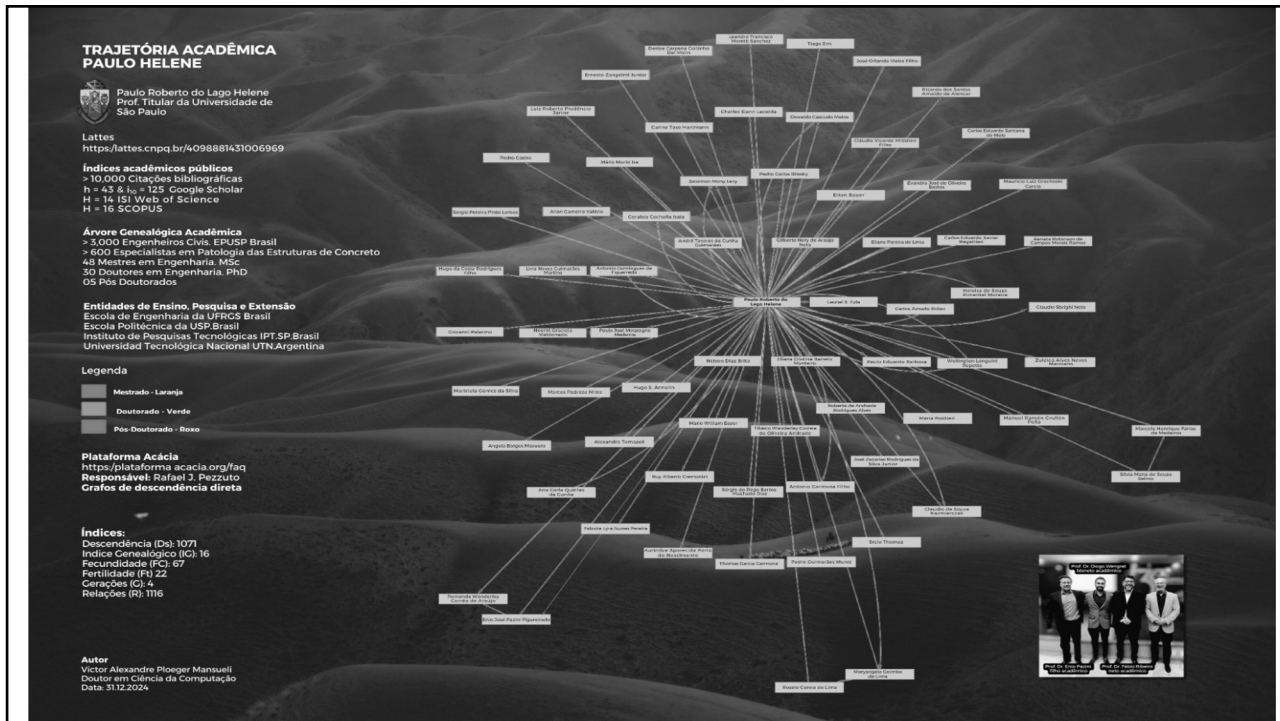
47

CELEBRACIÓN ACADÉMICA POR EL 15º ANIVERSARIO DE LA REVISTA ALCONPAT  
15 AÑOS DE HISTORIA (2011 - 2025)

**Mis sinceros agradecimientos a  
mis amigos y colegas co-autores**



48



49

## CELEBRACIÓN ACADÉMICA POR EL 15º ANIVERSARIO DE LA REVISTA ALCONPAT 15 AÑOS DE HISTORIA (2011 - 2025)

**Mi reconocimiento al trabajo, competencia,  
visión, dedicación, seriedad, ética,  
diplomacia y educación de Pedro Castro,  
nuestro querido Editor Jefe de la Revista**



50